

**Fig. 6 - Ilustrando os ângulos de equilíbrio para  $\text{SiH}_3^+/\text{SiH}_3/\text{SiH}_3^-$  e  $\text{GeH}_3^+/\text{GeH}_3/\text{GeH}_3^-$ .  $\theta_e$ , o parâmetro de ordem, é o ângulo medido do plano à ligação Si-H ou Ge-H.**

## AGRADECIMENTOS

Agradeço ao Dr. S. Canuto pelas valiosas discussões, ao Dr. O. A. Bonfin e ao Dr. R. C. Ferreira pelo interesse e estímulo.

## NOTAS E REFERÊNCIAS BIBLIOGRÁFICAS

- <sup>1</sup>M. A. F. Gomes e S. Canuto, "Structural Phase Transitions in Molecules" (1981) submetido ao J. Phys. B: Atom. and Molec. Phys.
- <sup>2</sup>H. Haken "Synergetics An Introduction Nonequilibrium Phase Transitions and Self-Organization in Physics, Chemistry and Biology" (1978) Springer-Verlag, Berlin, pp. 109-110, 179-182. De nosso conhecimento, a referência<sup>1</sup> é a primeira a estudar modificações estruturais em moléculas simples como transições de fase. O conteúdo deste trabalho pode ser enquadrado na disciplina "Sinergética", cujo desenvolvimento inicial deve-se sobretudo a H. Haken.
- <sup>3</sup>Embora o fenômeno de quebra de simetria discutido a seguir possa estar associado com a variação da população eletrônica em mais de uma unidade, aqui nos restringiremos aos casos em que essa variação é de apenas uma carga elementar.
- <sup>4</sup>L. D. Landau e E. M. Lifshitz, "Statistical Physics" (1969) Pergamon, pp. 424-454. Uma exposição concisa e clara desta teoria é dada na referência 2 pp. 179-183.
- <sup>5</sup>A variável "externa" X corresponde, em termodinâmica, à temperatura. A energia E corresponde à energia livre.
- <sup>6</sup> $\text{H}_3^+/\text{H}_3$ ,  $\text{NH}_3^+/\text{NH}_3$  bem como  $\text{CO}_2^+/\text{CO}_2^-$  e  $\text{BeF}_2^+/\text{BeF}_2^-$  são tratados na referência 1.
- <sup>7</sup>M. A. F. Gomes, "Continuous Phase Transitions in Molecules: BeF<sub>2</sub> case" (1981) submetido ao Phys. Lett. A.
- <sup>8</sup>Os parâmetros utilizados foram o ângulo de equilíbrio  $\theta_0$ , a barreira de inversão  $\Delta$  e a energia do ponto-zero do anion bem como as eletron-afinidades vertical e adiabática (veja Tabela I).
- <sup>9</sup>R. A. Eades and D. A. Dixon (1980) J. Chem. Phys. 72 3309.
- <sup>10</sup>Veja referência 2 pp. 181-183, 258-260.
- <sup>11</sup>Um modelo para atividade enzimática, envolvendo uma transição de fase discontinua na estrutura molecular e na densidade dos orbitais de valência dessas proteínas, foi recentemente proposto por M. A. F. Gomes e R. C. Ferreira em Phys. Lett. A84 36 (1981).
- <sup>12</sup>R. Thom "Structural Stability and Morphogenesis", Benjamin 1975.
- <sup>13</sup>E. Renner (1934) Z. Phys. 92 172; J. A. Pople and H. C. Longuet-Higgins (1958) Mol. Phys. 1 372.
- <sup>14</sup>Para uma discussão simples e geral do conceito de parâmetro de ordem veja a referência 1, Cap. 1 e H. Haken em "Cooperative Phenomena", editado por H. Haken e M. Wagner, Springer-Verlag 1973.

## NOVIDADE CIENTÍFICA

### EFEITOS DE CÁTIONS "FORMADORES DA ESTRUTURA DA ÁGUA LÍQUIDA" SOBRE A HIDRÓLISE ÁCIDA DE TRIS (1,10-FENANTROLINA) FERRO (II).

Matthieu Tubino e Eduardo J. S. Vichi

Instituto de Química  
Universidade Estadual de Campinas  
Cx. Postal 1170, 13100 – Campinas, SP.

(Recebido em 12/11/1980)

A dissociação e racemização, assistidas por água, dos cátions complexos tris (1,10-fenantrolina)ferro(II), Fephene<sup>2+</sup>, tris (2,2'-bipiridina)ferro(II), Febipy<sup>2+</sup>, e correlatos, têm sido estudadas extensivamente nos últimos 30 anos<sup>1-8</sup>. A in-

fluência de íons adicionados à solução sobre a velocidade de hidrólise destes complexos tem sido notada desde os primeiros trabalhos<sup>9-11</sup>. Recentemente, os efeitos de alguns cátions adicionados à solução sobre a cinética de dissociação

de Febipy<sup>2+</sup>, água<sup>5</sup>, e de tris(5-nitro-1,10-fenantrolina)ferro (II), em soluções aquosas binárias<sup>8</sup>, têm sido atribuídos à habilidade desses cátions de alterar a "estrutura da água líquida".

Discutiremos neste artigo, alguns resultados de estudos cinéticos sobre os efeitos de cloretos e brometos de metais alcalinos e alcalino terrosos, e de ácido clorídrico, sobre a velocidade da hidrólise de Fephens<sup>2+</sup>. As medidas cinéticas foram realizadas fotometricamente em soluções 10<sup>-5</sup> M em complexo, e de molalidade variável de HCl, LiCl, NaCl, KCl, NH<sub>4</sub>Cl, NaBr, KBr, NH<sub>4</sub>Br, MgCl<sub>2</sub>, CaCl<sub>2</sub>, SrCl<sub>2</sub>, BaCl<sub>2</sub> e MgBr<sub>2</sub>. As constantes de velocidade de hidrólise,  $K_{H_2O}$ , de primeira ordem em relação ao complexo<sup>9</sup>, correlaciona-se linearmente com a concentração molal, m, do sal adicionado através da equação (1), onde k<sub>r</sub> é a constante de velocidade em água pura:

$$k_{H_2O} = k_o - \varepsilon m \quad (1)$$

e  $\varepsilon$  é o valor absoluto do coeficiente angular das retas médias obtidas por mínimos quadrados. A equação (1) pode ser transformada em (2), onde  $k = k_{H_2O}/k_o$  e  $k_r = \varepsilon/k_o$ .

$$k = 1 - k_r m \quad (2)$$

A constante de retardamento,  $k_r$ , depende da natureza do sal adicionado e o seu valor é uma medida de eficiência em retardar o processo de hidrólise. A constante  $k_r$  está relacionada linearmente com  $\Delta H_{hidr}^0$  e com  $T\Delta S_{hidr}^0$  dos cátions adicionados como pode ser visto na figura 1, e com os tempos de reorientação das moléculas de água na esfera de hidratação dos fons adicionados ( $\tau^\pm$ ) e números de hidratação do sal, (h), como pode ser visto na figura 2.

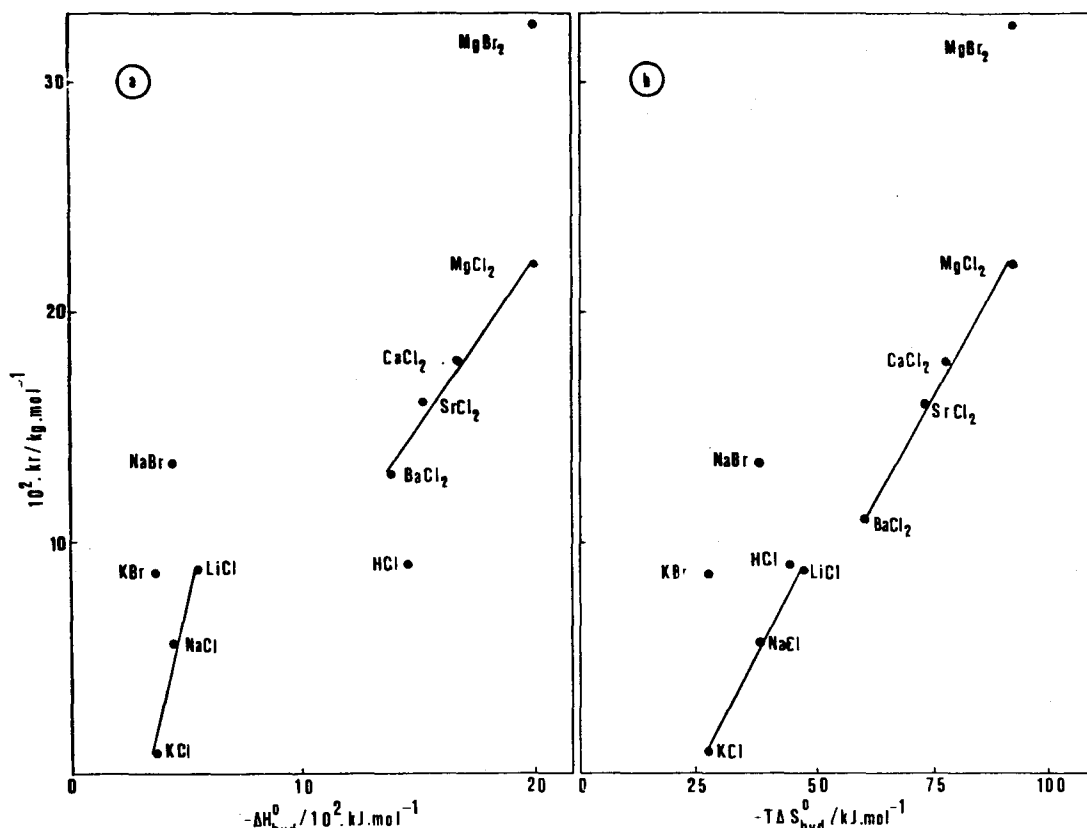


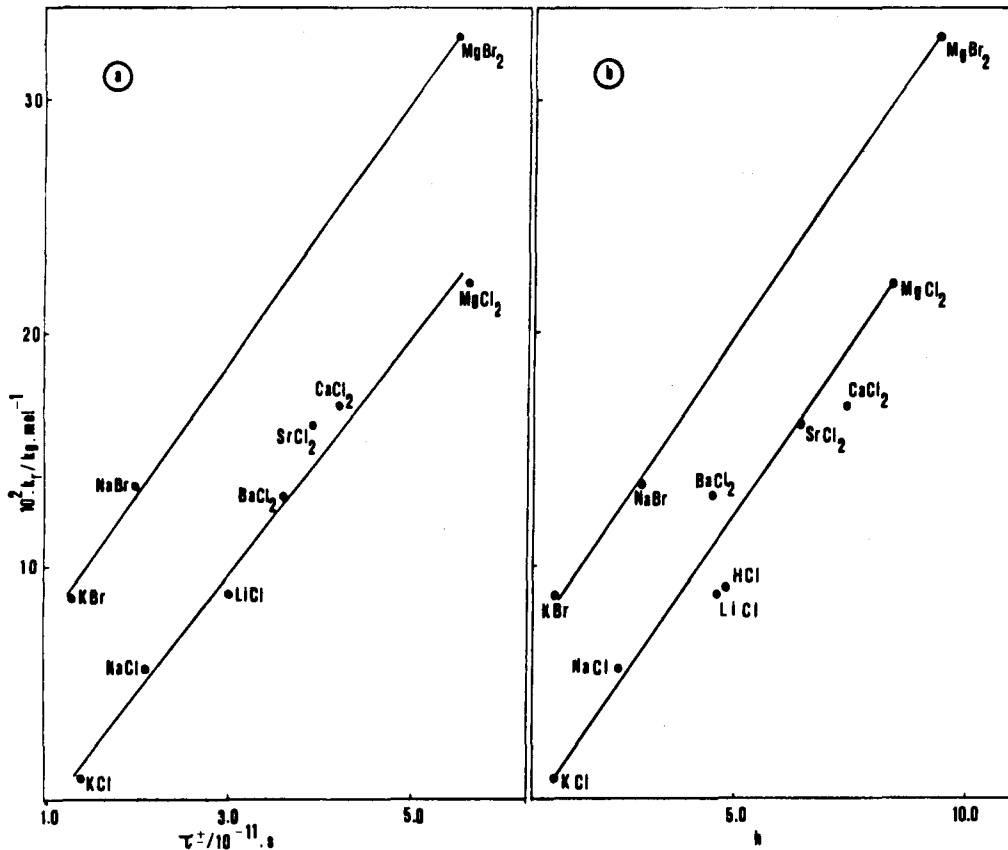
Fig. 1 - Gráfico de  $k_r$  versus a)  $\Delta H_{hidr}^0$  e b)  $T\Delta S_{hidr}^0$  dos cloretos e brometos alcalinos e alcalino terrosos, e HCl, a 25°C. Valores de  $\Delta H_{hidr}^0$  e  $T\Delta S_{hidr}^0$  tirados das referências<sup>12 e 13</sup>

As entalpias de hidratação,  $\Delta H_{hidr}^0$ , são proporcionais ao quadrado das cargas e ao inverso dos raios iônicos efetivos dos cátions<sup>16</sup>. Em um trabalho anterior<sup>17</sup>, demonstramos que existe uma relação linear entre  $k_r$  e os raios de hidratação e cristalográficos ( $R_c$ ) dos cátions adicionados. As retas  $k_r$  versus  $R_c$  obtidas para os cátions alcalinos e alcalino-terrosos são paralelas dentro do erro experimental e podem ser expressas pela equação (3), onde z é a carga do cátion.

$$k_r = 0,15z - 0,12r_c \quad (3)$$

O próton e o Li<sup>+</sup> apresentam valores de  $\Delta H_{hidr}^0$  muito diferentes mas valores de  $T\Delta S_{hidr}^0$  semelhantes. Os valores de  $k_r$  são muito próximos sugerindo que eles têm um "raio cinético" semelhante, apesar do próton ter um raio iônico efetivo muito menor. O "raio cinético" pode ser interpreta-

do como sendo a distância entre o centro da carga e as moléculas de água mais próximas. Seu valor para o Li<sup>+</sup> seria aproximadamente igual ao do raio cristalográfico (0,60pm) e para o próton seria igual ao "raio" do "buraco" resultante da maior compactação possível das moléculas de água ao redor da carga pontual. Pode-se observar na figura 2b que HCl e LiCl têm aproximadamente o mesmo número de hidratação. É interessante notar ainda que o sistema HCl-LiCl é talvez o único no qual o coeficiente de atividade do ácido é praticamente independente das proporções relativas dos eletrólitos, quando a molaridade total é mantida constante<sup>18</sup>. Para a maioria dos autores, o próton existe em solução aquosa na forma de H<sub>3</sub>O<sup>+</sup><sub>aq</sub>, cuja existência foi confirmada no estado sólido (por ex. H<sub>3</sub>O<sup>+</sup>.ClO<sub>4</sub><sup>-</sup>) por difração de raios X<sup>19</sup>. Foram obtidas evidências para esta espécie em solução por infra-vermelho em soluções muito concentradas (por



**Fig. 2** - Gráficos de  $k_r^2$  versus a) a soma,  $\tau^{\pm}$ , dos tempos de reorientação das moléculas de água na esfera de hidratação dos cátions,  $\tau^+$ , e ânions,  $\tau^-$ , dos cloretos e brometos alcalinos e alcalino terrosos, a 25°C, e b) números de hidratação,  $h$ , dos cloretos e brometos alcalinos e alcalino terrosos, e  $HCl$ , a 25°C.  $\tau^{\pm} = x\tau^+ + y\tau^-$  para o sal  $M_xA_y$ . Valores de  $\tau^+$  e  $\tau^-$  tirados da referência 14. Valores de  $h$  tirados da referência 15.

ex.  $HCl$  7M<sup>19</sup>. Em nossas experiências, usamos soluções de  $HCl$  até 2,5 M e encontramos, como vimos, valores de  $k_r$  para o próton semelhantes aos obtidos para o  $Li^+$ . Se  $H_3O^+$  estivesse presente em quantidades apreciáveis deveríamos esperar valores para  $k_r$  semelhantes aos observados para  $NH_4^+$  pois ambos possuem raios cristalográficos muito próximos e quase a mesma habilidade em formar pontes de hidrogênio com as moléculas de água vizinhas. Preferimos admitir a existência do equilíbrio



com valor de  $K = [H_3O^+(aq)]/[H^+(aq)][H_2O(aq)]$  muito pequeno. Na espécie hidratada  $H^+(aq)$  o próton não estaria necessariamente localizado no “buraco” resultante da compactação das moléculas de água. A despeito da deslocalização, como no modelo de Grotius<sup>20</sup>, sua presença induziria as moléculas de água a se organizarem, atuando efetivamente como se tivessem um raio comparável ao dos outros cátions.

O “modelo entrópico” acima proposto é apoiado pela correlação linear entre  $k_r$  e  $\tau^{\pm}$  (figura 2a). Admitimos que para um sal  $M_xA_y$ ,  $\tau^{\pm} = n\tau^+ + y\tau^-$ . Qualitativamente, quanto maior o tempo de reorientação, tanto mais organizada é a “estrutura da água líquida” na solução<sup>14</sup>.

Os resultados até o momento parecem indicar que, pelo menos para Fephenn<sup>3</sup>, o retardamento da hidrólise em solu-

ções de cloretos e brometos alcalinos e alcalino-terrosos, e de  $HCl$ , é uma consequência do grau de organização da “estrutura da água líquida” induzida pelos íons. Cátions grandes e “moles” são “quebradores da estrutura da água líquida”, e espera-se que tenham um efeito de aceleração sobre a velocidade de hidrólise. Isso foi de fato observado na aquação de tris (5-nitro-1,10-fenantrolina)ferro(II), em presença do cátion tetra-n-butilamônio<sup>8</sup>.

**Agradecimentos:** À FINEP pelo apoio financeiro e ao CNPq pela bolsa de pesquisa concedida a M. Tubino.

#### REFERÊNCIAS BIBLIOGRÁFICAS

- <sup>1</sup>P. Krumholz, Structure and Bonding, 9, 139 (1971) e referências incluídas.
- <sup>2</sup>J. Burgess, a) J. Chem. Soc. A, 1968, 1085, b) idem, 1970, 2351.
- <sup>3</sup>J. Burgess, F. M. Mekhail e E. R. Gardener, J. C. S. Dalton, 1973, 1335.
- <sup>4</sup>E. J. S. Vichi e P. Krumholz, J. C. S. Dalton, 1975, 1543.
- <sup>5</sup>S. Raman, a) J. Inorg. Nucl. Chem., 38, 781 (1976), b) idem, 40, 1073 (1978).
- <sup>6</sup>R. D. Gillard, L. A. P. Kane-Maguire e P. A. Williams, J. C. S. Dalton, 1977, 1972 e referências incluídas.
- <sup>7</sup>M. Tubino e E. J. S. Vichi, Inorg. Chim. Acta, 28, 29 (1978).
- <sup>8</sup>N. F. Ashford, M. J. Blandamer, J. Burgess, D. Laycock, M. Waters, P. Wellings, R. Woodhead e F. M. Mekhail, J. C. S. Dalton, 1979, 869.

- <sup>9</sup>T. S. Lee, I. M. Kolthoff e D. L. Leussing, *J. Amer. Chem. Soc.*, **70**, 3596 (1948).
- <sup>10</sup>P. Krumholz, a) *Nature*, **163**, 724 (1949), b) *Anais Acad. Brasil. Cienc.*, **22**, 263 (1950).
- <sup>11</sup>J. H. Baxendale e P. George, a) *Nature*, **163**, 725 (1949), *Trans. Faraday Soc.*, **46**, 736 (1950).
- <sup>12</sup>R. Jalenti e R. Caramazza, *J. C. S. Faraday I*, **72**, 715 (1976).
- <sup>13</sup>S. Goldman e R. G. Bates, *J. Amer. Chem. Soc.*, **94**, 1476 (1972).
- <sup>14</sup>H. G. Hertz, *Angew. Chem. Internat. Edn.*, **9**, 124 (1970).
- <sup>15</sup>E. A. Guggenheim e R. H. Stokes, "The International Encyclo-paedia of Physical Chemistry and Chemical Physics", Pergamon Press, **43**, 226 (1969).
- <sup>16</sup>W. M. Latimer, K. S. Pitzer e W. V. Slansky, *J. Chem. Phys.*, **7**, 108 (1939).
- <sup>17</sup>A. P. Chagas, M. Tubino e E. J. S. Vichi, *Inorg. Chim. Acta*, **28**, L137 (1978).
- <sup>18</sup>H. S. Harned e B. B. Owen, "The Physical Chemistry of Electro-litic Solutions", 2<sup>nd</sup> ed., Reinhold Publ. Corp., 1950, p. 444.
- <sup>19</sup>R. P. Bell, "The Proton in Chemistry", Cornell University Press, 1959, p: 19.
- <sup>20</sup>W. J. Moore, "Físico-Química", vol. 2, Editora Edgard Blücher Ltd. e Editora USP, 1976, pp. 389 e 398.

## NOVIDADE CIENTÍFICA

### SÍNTSE DE POTENCIAIS AGENTES ANTI-INFLAMATÓRIOS NÃO-ESTEROIDAIOS DO GRUPO DOS ÁCIDOS HETERO-ARIL CARBOXÍLICOS<sup>1,2</sup>

Eliezer J. Barreiro\*, Ricardo T. de Mello<sup>§</sup>, <sup>1b</sup> e Mauro dos S. de Carvalho<sup>§</sup>.

\*Departamento de Química  
Universidade Federal de São Carlos, São Carlos, S.P.  
§Núcleo de Pesquisas de Produtos Naturais  
Universidade Federal do Rio de Janeiro, R.J.

(Recebido em 15/12/1980)

A busca de novos agentes terapêuticos com atividade anti-inflamatória tem atraído a atenção de diversos grupos de pesquisa, tanto universitários como industriais. Entre as substâncias orgânicas sintéticas que possuem estas propriedades, aquelas classificadas como agentes anti-inflamatórios não-esteroídais (NSAI)<sup>2</sup> são as que mais têm chamado a atenção dos pesquisadores, particularmente o grupo de compostos ácidos aril-carboxílicos.

O mecanismo de ação dos medicamentos desta classe tem sido objeto de amplo estudo, estando atualmente evidenciado que sua ação terapêutica está relacionada com a propriedade que tem de inibir a biossíntese de prostaglandinas (PGBS), ao nível da enzima ciclo-oxigenase<sup>3</sup>. Entretanto, existem evidências na literatura sugerindo que a simples inibição da PGBS ao nível desta enzima, não explica completamente a atividade biológica destas substâncias já que compostos comprovadamente anti-inflamatórios, são inertes frente a ciclo-oxigenase<sup>4</sup>. Estes resultados conflitantes parecem sugerir a participação de outras substâncias de biossíntese comum com as PG no processo inflamatório. Recentemente, foi demonstrada a propriedade que certos agentes NSAI possuem em reduzir a bioprodução de tromboxanas<sup>5</sup>. Embora não sejam ainda completamente inambíguos estes resultados, não foram suficientes para impedir que fosse proposto um modelo hipotético para a topografia do receptor de drogas NSAI do tipo ácido aril-carboxílico<sup>6</sup> (e.g. indometacina<sup>3,7</sup>), que concilia a idéia de que ao menos este grupo de anti-inflamatórios atuaria, inibindo a PGBS<sup>6</sup> ao nível de ciclo-oxigenase.

Estudos sobre a relação existente entre a estrutura química e a atividade anti-inflamatória dos ácidos aril-carboxílicos<sup>6</sup> sugerem que o radical ácido carboxílico participa como integrante do grupamento farmacofórico, sendo a presença de heteroátomo no anel aromático planar substituinte desejável, já que favorece através de ligações hidrofóbicas mais eficazes a interação droga-receptor, no caso específico favorecendo a capacidade do agente terapêutico em inibir a ciclo-oxigenase<sup>6</sup>, que é substrato dos ácidos graxos precursores da PGBS<sup>1,3</sup>.

No Quadro I estão descritos alguns compostos anti-inflamatórios do grupo dos ácidos aril-carboxílicos. Entre eles destaca-se o derivado benzoxazólico **4<sup>8</sup>**, recentemente relatado como possuindo importantes propriedades anti-inflamatórias<sup>14</sup>. Este composto apresenta o grupamento ácido carboxílico com três átomos de carbono não-lineares (unidade estrutural (u.e.) em 3-C substituindo a posição 5 no anel benzênico. Estudos de metabolismo têm demonstrado que a existência de centros quirais em moléculas de substâncias do Tipo NSAI prejudicam enormemente a análise dos resultados de metabolização<sup>1,5a</sup> e de correlação entre a ação *in vitro* e *in vivo*<sup>1,5b</sup>, visto que os enantiômeros geralmente possuem propriedades biológicas distintas<sup>1,6</sup>. Neste particular, compostos que possuam um radical ácido propiônico substituindo o anel aromático, por não possuírem centros quirais (u.e. 3-C lineares) não introduzem complicações ou exigências estéricas para manifestarem atividade anti-inflamatória, por um mecanismo de ação que iniba a PGBS ao nível da ciclo-oxigenase.